

УДК 537.9

ОСОБЕННОСТИ ФАЗОВОГО ПЕРЕХОДА В ТОНКОМ СЕГНЕТОЭЛАСТИЧЕСКОМ СТЕРЖНЕ

© 2019 г. В. Н. Нечаев¹, А. В. Шуба^{1,*}

¹Федеральное государственное казенное военное образовательное учреждение высшего образования
Военный учебно-научный центр Военно-воздушных сил “Военно-воздушная академия
имени профессора Н.Е. Жуковского и Ю.А. Гагарина”, Воронеж, Россия

*E-mail: shandvit@rambler.ru

Поступила в редакцию 12.11.2018 г.

После доработки 29.03.2019 г.

Принята к публикации 27.05.2019 г.

В рамках феноменологической теории фазовых переходов второго рода Ландау показано, что в тонком сегнетоэластическом стержне возможен фазовый переход в неоднородную доменоподобную фазу. Определен волновой вектор неоднородной структуры, и установлены условия ее существования в зависимости от геометрических размеров сегнетоэластического стержня, его упругих свойств и свойств поверхности.

DOI: 10.1134/S0367676519090187

В тех случаях, когда фазовый переход (ФП) в материале сопровождается возникновением дальнедействующих полей (электрических, магнитных, упругих), при определенных условиях возможно образование неоднородных “доменоподобных” состояний. В работе [1] было показано, что ФП на поверхности полуограниченного образца происходит в пространственно-модулированное неоднородное состояние с волновым вектором, зависящим от свойств материала в объеме и на поверхности. Позже автором работ [2, 3] было отмечено, что подобная ситуация также может наблюдаться в полуограниченном сегнетоэластике или сегнетоэластической пластине. В работе [4] путем численного решения нелинейной задачи установлено, что аналогичный случай имеет место для нанокompозитных материалов с сегнетоэлектрическими выделениями. Далее в работе [5] численно-аналитическим методом было показано, что в тонкой сегнетоэлектрической пленке возможен ФП в пространственно-модулированное неоднородное состояние. Здесь отличие неоднородных “доменоподобных” состояний от классических доменов состоит в отсутствии четких границ между полярными областями, в поведении этой структуры во внешнем поле и в достаточно жестких условиях ее возникновения.

В настоящей работе численно-аналитическим путем устанавливается, что в тонком сегнетоэластическом стержне так же, как и в сегнетоэлектрической пленке [5], при определенных условиях возможен ФП в неоднородное “доменоподоб-

ное” состояние. Отметим, что в данной работе речь идет о неоднородности вдоль оси стержня, в отличие от неоднородности по его сечению, присутствующей всегда в наноразмерных образцах. Цель настоящей работы — установление температурной области существования неоднородных состояний при ФП второго рода как функции геометрических размеров сегнетоэластического стержня прямоугольного сечения с учетом свойств его поверхности. Поставленную задачу в линейном приближении оказывается возможным решить аналитически, и только итоговые формулы проанализировать численными методами. Покажем это.

Рассмотрим модель однодоменного сегнетоэластика в виде тонкого монокристаллического стержня прямоугольного сечения $l_1 \times l_2$, расположенного параллельно оси Oz . Свободную энергию такого стержня запишем в виде [6]:

$$F = \frac{1}{V} \int_V \left[-\frac{\alpha}{2} \eta^2 + \frac{\beta}{4} \eta^4 + \frac{\kappa}{2} (\nabla \eta)^2 - \sigma_{xy}^{(e)} \eta \right] dV + \frac{1}{S} \int_S \frac{\alpha_s}{2} \eta^2 dS, \quad (1)$$

где $\alpha = \alpha_0 (T_C - T)$, β — коэффициенты в разложении Ландау свободной энергии, T_C — температура Кюри идеального сегнетоэластического кристалла; κ — корреляционная постоянная; $\sigma_{xy}^{(e)}$ — компонента тензора упругих напряжений $\sigma_{ij}^{(e)}$, сопряженная спонтанной деформации η ; α_s — коэффи-

циент при наименьшей, отличной от нуля степени параметра порядка η в разложении поверхностной энергии; V и S – объем и площадь боковой поверхности стержня соответственно. Варьируя функционал (1) в линейном по η приближении, получаем уравнение равновесия

$$\kappa \Delta \eta + \alpha \eta + \sigma_{xy}^{(e)} = 0 \quad (2)$$

и граничное условие к нему

$$\frac{\alpha_s \eta}{\kappa} + \frac{d\eta}{d\bar{n}} \Big|_S = 0, \quad (3)$$

где \bar{n} – внешняя нормаль к боковой поверхности стержня.

Уравнение (2) необходимо решать совместно с уравнениями упругого равновесия

$$\frac{\partial \sigma_{ij}^{(e)}}{\partial x_j} = 0, \quad i, j = 1, 2. \quad (4)$$

Используя закон Гука [7], выражаем напряжения $\sigma_{ij}^{(e)}$ через упругие деформации $u_{kl}^{(e)}$:

$$\sigma_{ij}^{(e)} = \lambda_{ijkl} u_{kl}^{(e)}, \quad (5)$$

где тензор упругих модулей λ_{ijkl} в изотропном случае имеет вид:

$$\lambda_{ijkl} = \lambda \delta_{ij} \delta_{kl} + \mu (\delta_{ik} \delta_{jl} + \delta_{il} \delta_{jk}), \quad (6)$$

в котором λ, μ – коэффициенты Ламе, δ_{ij} – символ Кронекера. Далее вектор перемещений $\vec{u}(u_x, u_y)$ разбиваем на сумму упругой $\vec{u}^{(e)}$ и пластической $\vec{u}^{(p)}$ составляющих. Тогда подстановка выражения (5) с учетом равенства (6) в уравнения упругого равновесия (4) дает уравнения

$$(\lambda \delta_{ij} \delta_{kl} + \mu (\delta_{ik} \delta_{jl} + \delta_{il} \delta_{jk})) \left(\frac{\partial^2 u_k}{\partial x_i \partial x_j} - \frac{\partial^2 u_k^{(p)}}{\partial x_i \partial x_j} \right) = 0, \quad (7)$$

а напряжения $\sigma_{xy}^{(e)}$ в уравнениях равновесия (2), (4) с учетом выражения

$$u_{ij}^{(p)} = \begin{cases} \eta, & i \neq j, \\ 0, & i = j \end{cases} \quad (8)$$

перепишутся в виде

$$\sigma_{xy}^{(e)} = \mu \left(\frac{\partial u_x}{\partial y} + \frac{\partial u_y}{\partial x} \right) - 2\mu \eta. \quad (9)$$

После упрощений уравнения (7) с учетом выражения (8) примут вид

$$\Delta u_i + \frac{1}{1-2\nu} \nabla_i \operatorname{div} \vec{u} - 2\delta_{i1} \frac{\partial \eta}{\partial y} - 2\delta_{i2} \frac{\partial \eta}{\partial x} = 0, \quad (10)$$

$$i = 1, 2,$$

где ν – коэффициент Пуассона.

Неизвестные функции u_x, u_y, η будем искать в виде

$$\begin{aligned} \eta(x, y, z) &= \eta(x, y) e^{iqz}; \\ u_x(x, y, z) &= u_x(x, y) e^{iqz}; \\ u_y(x, y, z) &= u_y(x, y) e^{iqz}, \end{aligned} \quad (11)$$

где q – аппликата волнового вектора $\vec{q}(0, 0, q)$ модулированного неоднородного состояния. Тогда уравнения (2), (10) с учетом выражений (9), (11) образуют систему линейных дифференциальных уравнений относительно функций $\eta(x, y), u_x(x, y), u_y(x, y)$:

$$\begin{cases} \kappa \left(\frac{\partial^2 \eta}{\partial x^2} + \frac{\partial^2 \eta}{\partial y^2} \right) + (\alpha - 2\mu - q^2 \kappa) \eta + \mu \left(\frac{\partial u_x}{\partial y} + \frac{\partial u_y}{\partial x} \right) = 0, \\ \frac{2 - 2\nu}{1 - 2\nu} \frac{\partial^2 u_x}{\partial x^2} - q^2 u_x + \frac{\partial^2 u_x}{\partial y^2} + \\ + \frac{1}{1 - 2\nu} \frac{\partial^2 u_y}{\partial x \partial y} - 2 \frac{\partial \eta}{\partial y} = 0, \\ \frac{2 - 2\nu}{1 - 2\nu} \frac{\partial^2 u_y}{\partial y^2} - q^2 u_y + \frac{\partial^2 u_y}{\partial x^2} + \frac{1}{1 - 2\nu} \frac{\partial^2 u_x}{\partial x \partial y} - 2 \frac{\partial \eta}{\partial x} = 0. \end{cases} \quad (12)$$

Решение для функции $\eta(x, y)$ удобно искать в виде разложения по собственным функциям задачи Штурма–Лиувилля для прямоугольной области:

$$\Delta \eta + \xi \eta = 0; \quad \frac{\alpha_s \eta}{\kappa} + \frac{d\eta}{d\bar{n}} \Big|_S = 0, \quad (13)$$

где ξ – собственные значения задачи (13). Вид функции $\eta(x, y)$ запишем на основании известного решения [8] для задачи (13):

$$\begin{aligned} \eta(x, y) &= \\ &= \sum_{n=1}^{\infty} \sum_{m=1}^{\infty} a_{nm} \left(\frac{\kappa}{\alpha_s} \sqrt{v_n} \cos(\sqrt{v_n} x) + \sin(\sqrt{v_n} x) \right) \times \\ &\times \left(\frac{\kappa}{\alpha_s} \sqrt{\psi_m} \cos(\sqrt{\psi_m} y) + \sin(\sqrt{\psi_m} y) \right), \\ &\xi_{nm} = v_n + \psi_m, \quad n, m \in \mathbb{N}, \end{aligned} \quad (14)$$

где a_{nm} – коэффициенты разложения, а собственные значения ξ_{nm} находятся численно из решения трансцендентных уравнений

$$\operatorname{tg}(\sqrt{v_n} l_1) = \frac{2\sqrt{v_n} \alpha_s \kappa}{v_n \kappa^2 - \alpha_s^2}; \quad \operatorname{tg}(\sqrt{\psi_m} l_2) = \frac{2\sqrt{\psi_m} \alpha_s \kappa}{\psi_m \kappa^2 - \alpha_s^2}. \quad (15)$$

Функции $u_x(x, y)$ и $u_y(x, y)$ согласно формуле (14) удобно искать в виде

$$\begin{aligned} u_x(x, y) &= \sum_{n=1}^{\infty} \sum_{m=1}^{\infty} b_{nm} \left(\frac{\kappa}{\alpha_s} \sqrt{\nu_n} \cos(\sqrt{\nu_n} x) + \right. \\ &+ \left. \sin(\sqrt{\nu_n} x) \right) \left(\frac{\kappa}{\alpha_s} \sqrt{\psi_m} \sin(\sqrt{\psi_m} y) - \cos(\sqrt{\psi_m} y) \right), \\ u_y(x, y) &= \sum_{n=1}^{\infty} \sum_{m=1}^{\infty} c_{nm} \left(\frac{\kappa}{\alpha_s} \sqrt{\nu_n} \sin(\sqrt{\nu_n} x) - \right. \\ &- \left. \cos(\sqrt{\nu_n} x) \right) \left(\frac{\kappa}{\alpha_s} \sqrt{\psi_m} \cos(\sqrt{\psi_m} y) + \sin(\sqrt{\psi_m} y) \right), \end{aligned} \quad (16)$$

где b_{nm} и c_{nm} – коэффициенты разложения. Подставляя функции (14), (16) в систему уравнений (12), после упрощений получаем систему линейных уравнений на коэффициенты a_{nm} , b_{nm} , c_{nm} :

$$\begin{cases} [\kappa(\nu_n + \psi_m) - \alpha + 2\mu + q^2 \kappa] a_{nm} - \mu \sqrt{\psi_m} b_{nm} - \mu \sqrt{\nu_n} c_{nm} = 0, \\ 2\sqrt{\psi_m} a_{nm} - \left[\frac{2-2\nu}{1-2\nu} \nu_n + \psi_m + q^2 \right] b_{nm} - \frac{1}{1-2\nu} \sqrt{\nu_n \psi_m} c_{nm} = 0, \\ 2\sqrt{\nu_n} a_{nm} - \frac{1}{1-2\nu} \sqrt{\nu_n \psi_m} b_{nm} - \left[\frac{2-2\nu}{1-2\nu} \psi_m + \nu_n + q^2 \right] c_{nm} = 0. \end{cases} \quad (17)$$

Однородная система линейных уравнений (17) будет иметь нетривиальные решения только в том случае, когда ее определитель равен нулю:

$$\begin{aligned} &\kappa(\nu_n + \psi_m) - \alpha_0(T_C - T) + 2\mu + q^2 \kappa - 2\mu \times \\ &\times \frac{\frac{2-2\nu}{1-2\nu}(\nu_n^2 + \psi_m^2) + q^2(\nu_n + \psi_m) - \frac{4\nu}{1-2\nu} \nu_n \psi_m}{\frac{2-2\nu}{1-2\nu}(\nu_n + \psi_m)^2 + \frac{3-4\nu}{1-2\nu} q^2 + q^4} = 0. \end{aligned} \quad (18)$$

По свойству собственных значений, с увеличением индексов n , m величины ν_n , ψ_m возрастают. Поэтому минимальная температура T_r , при которой появляется отличное от нуля решение, соответствующее минимальному ненулевому собственному значению $\xi_{11} = \nu_1 + \psi_1$, будет являться температурой ФП:

$$\begin{aligned} T_r &= T_C \left[1 - \frac{\kappa}{\alpha_0 T_C} (\nu_1 + \psi_1 + q^2) - \frac{2\mu}{\alpha_0 T_C} \times \right. \\ &\times \left. \frac{4\nu_1 \psi_1 + (1-2\nu)(\nu_1 + \psi_1 + q^2) q^2}{(2-2\nu)(\nu_1 + \psi_1)^2 + (3-4\nu)(\nu_1 + \psi_1) q^2 + (1-2\nu) q^4} \right]. \end{aligned} \quad (19)$$

Для иллюстрации полученных результатов следует использовать параметры сегнетоэластических кристаллов с фазовым переходом второго рода, к которым относятся литиево-цезиевый сульфат LiCsSO_4 , ванадат висмута BiVO_4 , тригидроселенит калия $\text{KH}_3(\text{SeO}_3)_2$ и др. Поведение температуры T_r будем рассматривать на примере модельного сегнетоэластика $\text{KH}_3(\text{SeO}_3)_2$ с параметрами: $T_C = 211$ К, $\kappa = 10^{-7}$ Н, $\alpha_0 = 90.9 \cdot 10^6$ Н \cdot м 2 \cdot К $^{-1}$, $\lambda = 36$ ГПа; $\mu = 5.05$ ГПа, межатомное расстояние $a \approx 3$ Å [9]. На рис. 1 представлены зависимости температуры T_r ФП сегнетоэластического стержня от нормированного волнового вектора $\tilde{q} = qa$ для разных приведенных размеров $\tilde{l}_1 = l_1/a$ квадратного сече-

ния с нормированным параметром $\tilde{\alpha}_s = \alpha_s a / \kappa$ на его границе.

Как видно из рис. 1, при малых размерах сечения $l_1 \leq 60a$ ФП осуществляется однородно по всему объему стержня, т.к. функции $T_r(\tilde{q})$ монотонно убывают, начиная с минимального значения $\tilde{q} = 0$. Для размеров $l_1 > 60a$ происходит ФП в пространственно-модулированное неоднородное состояние с ненулевым волновым вектором \tilde{q}^* , зависящим от размера l_1 стержня и величины α_s закрепления параметра порядка на поверхности S .

При этом реальная температура T_{rh} ФП и волновой вектор \tilde{q}^* статической волны, возникающей при ФП, соответствуют точке максимума

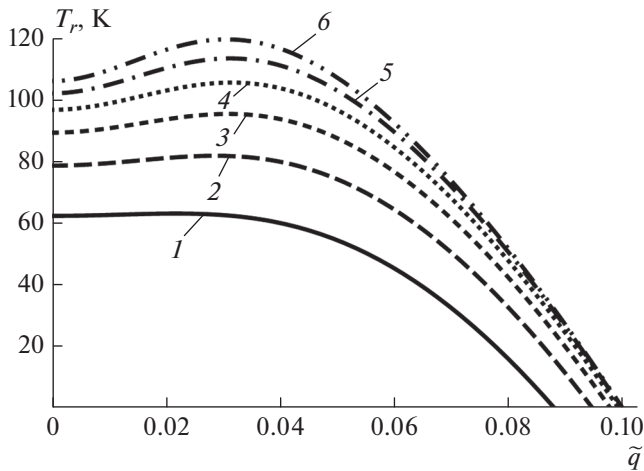


Рис. 1. Зависимость температуры T_r фазового перехода от волнового вектора \tilde{q} для квадратного сечения стержня с размерами \tilde{l}_1 : 1 – 60, 2 – 70, 3 – 80, 4 – 90, 5 – 100, 6 – 110 ($\tilde{\alpha}_s = 1$).

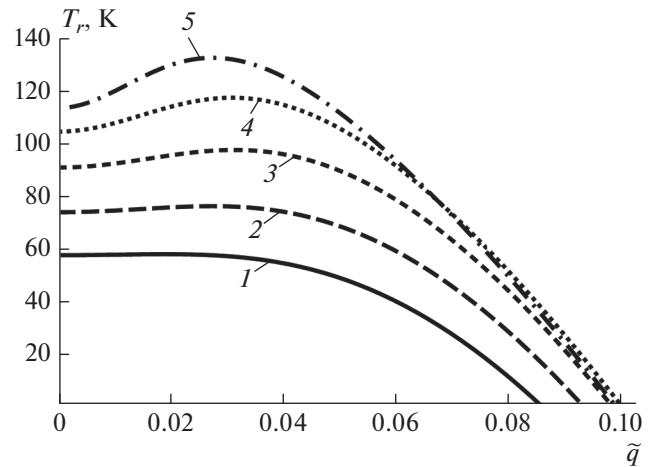


Рис. 2. Зависимость температуры T_r фазового перехода от волнового вектора \tilde{q} для сегнетоэластического стержня квадратного сечения размером $l_1 = 50a$ с параметрами $\tilde{\alpha}_s$: 1 – 0.2, 2 – 0.1, 3 – 0.05, 4 – 0.025, 5 – 0.0125.

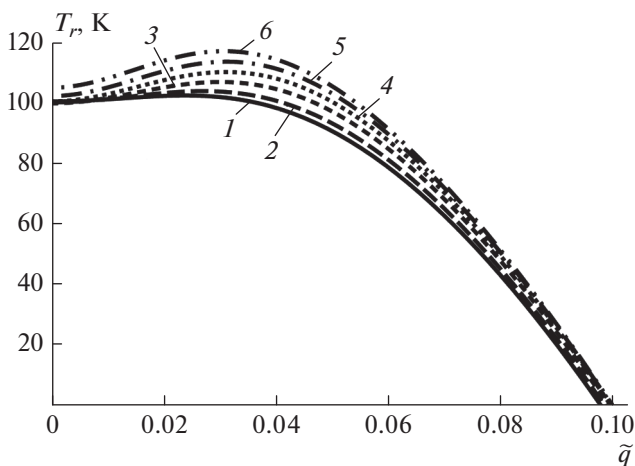


Рис. 3. Зависимость температуры T_r фазового перехода от волнового вектора \tilde{q} при изменении соотношения сторон сечения стержня l_1/l_2 : 1 – 0.6, 2 – 0.7, 3 – 0.8, 4 – 0.9, 5 – 1, 6 – 1.1 ($l_2 = 100a$).

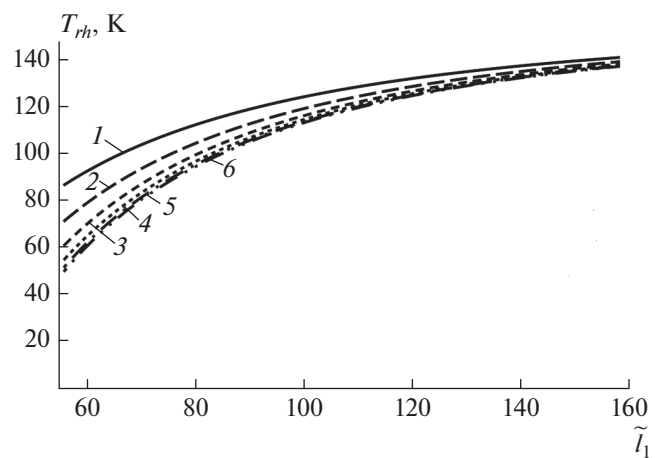


Рис. 4. Зависимость температуры T_{rh} фазового перехода в неоднородное состояние от размера \tilde{l}_1 с параметрами $\tilde{\alpha}_s$: 1 – 0.1, 2 – 0.2, 3 – 0.4, 4 – 0.8, 5 – 1.6, 6 – 3.2.

$T_{rh} = T_r^{(\max)}$ на зависимости $T_r(\tilde{q})$ (рис. 1). Такая ситуация наблюдается и в случае различного закрепления параметра порядка на границе образца (рис. 2), и в случае изменения формы сечения (рис. 3).

На рис. 3 представлены результаты влияния формы сечения стержня на особенности ФП в нем. Наблюдается увеличение температуры ФП с ростом соотношения l_1/l_2 . Однако повышение температуры ФП с возрастанием длины \tilde{l}_1 прямоугольного сечения (рис. 3) слабее, чем в случае од-

новременного увеличения размеров $\tilde{l}_1 = \tilde{l}_2$ квадратного сечения стержня (рис. 1) по причине меньшего приращения энергии упорядочения для прямоугольного сечения.

С увеличением размера сечения температура $T_{rh} = T_r^{(\max)}$ ФП, отвечающая максимальному значению на кривой $T_r(\tilde{q})$, возрастает (рис. 4), и область существования неоднородного состояния $\Delta T = T_r(\tilde{q}^*) - T_r(0)$ расширяется (рис. 5). С уменьшением параметра $\tilde{\alpha}_s$ температура T_{rh} ФП в неоднородное состояние растет (рис. 2, 4) в связи со сни-

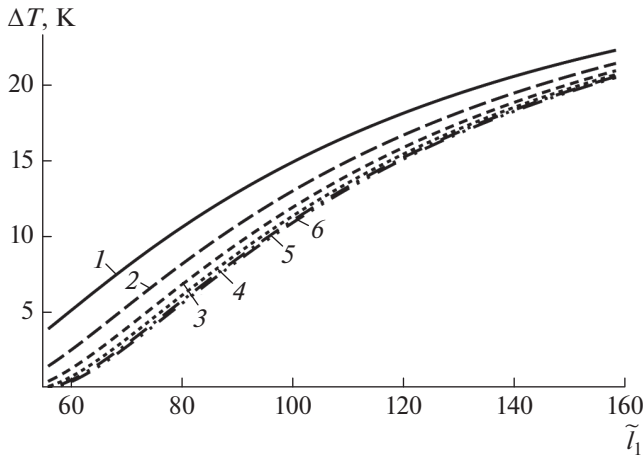


Рис. 5. Зависимость ширины температурного интервала ΔT существования неоднородной фазы от размера \tilde{l}_1 сечения стержня с параметрами $\tilde{\alpha}_s$: 1 – 0.1, 2 – 0.2, 3 – 0.4, 4 – 0.8, 5 – 1.6, 6 – 3.2.

жением вклада энергии поверхности в свободную энергию (1). Возрастание функции $T_{rh}(\tilde{l}_1)$ объясняется уменьшением корреляционной и поверхностной составляющих по сравнению с другими вкладами в свободную энергию (1). Снижение температуры T_{rh} с повышением параметра $\tilde{\alpha}_s$ естественно связать с увеличением вклада поверхностной энергии. Заметим, что поведение функции $T_{rh}(\tilde{l}_1)$ по сути аналогично зависимости температуры ФП в однородное состояние от размера сечения стержня [8].

Таким образом, использованное линейное приближение позволяет вычислить температуру $T_r^{(\max)}$ ФП и период статической волны спонтанной деформации, определяемый волновым вектором q^* , как функции параметров материала. Дальнейшая температурная эволюция этих состо-

яний может быть исследована только при условии выхода за рамки линейного приближения.

Отметим отличие рассмотренной ситуации с сегнетоэластиком от аналогичных задач для сегнетоэлектриков и ферромагнетиков. В последних двух случаях ФП в конечном образце обязательно сопровождается возникновением деполаризующих или размагничивающих полей и, следовательно, всегда имеются предпосылки к образованию неоднородных структур, если будут выполняться другие необходимые условия [5]. В сегнетоэластических образцах упругие поля при ФП возникают только при определенной их геометрии, согласованной с пластической деформацией, сопровождающей ФП, то есть, когда отличен от нуля тензор несовместности пластических деформаций [10]. Другими словами, условия для наблюдения неоднородных “домноподобных” структур в сегнетоэластиках являются более жесткими.

СПИСОК ЛИТЕРАТУРЫ

1. Андреев А.Ф. // Письма в ЖЭТФ. 1980. Т. 32. № 11. С. 654.
2. Лавриненко Н.М. // ФНТ. 1996. Т. 22. № 10. С. 1132.
3. Лавриненко Н.М. // ФНТ. 1997. Т. 23. № 8. С. 880.
4. Нечаев В.Н., Висковатых А.В. // ФТТ. 2015. Т. 57. № 4. С. 704; Nechaev V.N., Viskovatykh A.V. // Phys. Sol. St. 2015. V. 57. № 4. P. 722.
5. Нечаев В.Н., Шуба А.В. // ФТТ. 2018. Т. 60. № 7. С. 1322; Nechaev V.N., Shuba A.V. // Phys. Sol. St. 2018. V. 60. № 7. P. 1332.
6. Ландау Л.Д., Лифшиц Е.М. Теоретическая физика. Т. 8. Электродинамика сплошных сред. М.: Физматлит, 2005. 656 с.
7. Ландау Л.Д., Лифшиц Е.М. Теоретическая физика. Т. 7. Теория упругости. М.: Физматлит, 2003. 264 с.
8. Nechaev V.N., Shuba A.V. // Ferroelectrics. 2016. V. 501. P. 32.
9. Гриднев С.А., Кудряш В.И., Шувалов Л.А. // Изв. АН СССР. Сер. физ. 1979. Т. 43. № 8. С. 1718.
10. Кренер Э. Общая континуальная теория дислокаций и собственных напряжений. М.: Мир, 1965. 104 с.